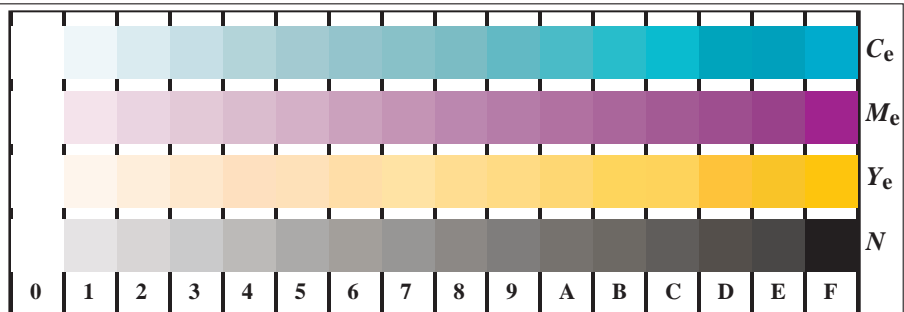




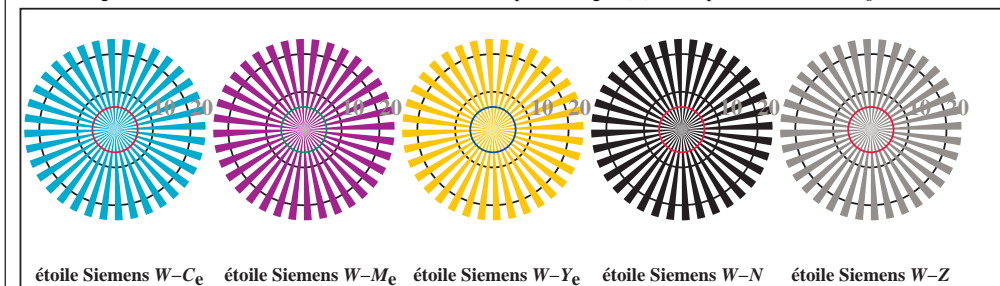
TF990-3, Fig. D1Wde: motif fleuri, 14 CIE test couleurs et 2 + 16 paliers de gris (sf); PS opérateur: 4 colorimage



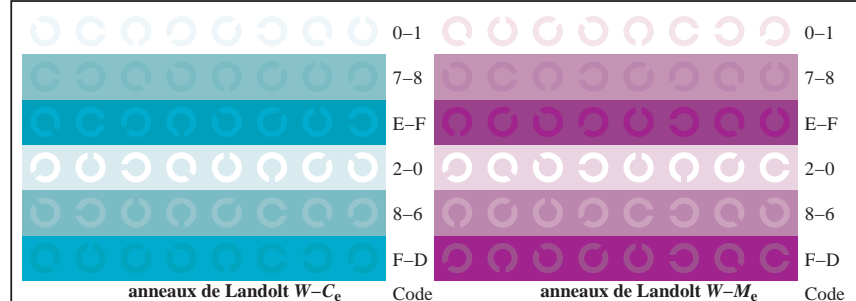
TF991-1, Fig. B4Wde: 16 paliers équidistants $W-C_e$; $W-M_e$; $W-Y_e$; $W-N$; $rgb/cmy0 \rightarrow rgb_{de}$ setrgbcolor

+-:.		lmno		pqrs		tuvw	
xyz;		hijk		lmno		lmno	
tuvw		defg		hijk		hijk	
pqrs		!abc		+-:.		+-:.	
lmno		xyz;		tuvw		defg	
hijk		tuvw		!abc		!abc	
defg		pqrs		6		6	
!abc		8		N		N	
10		N		C _e		C _e	
		M _e		Y _e		Y _e	
		Y _e		Z		Z	
		Z					

TF991-3, Fig. B5Wde: code et anneau de Landolt N; C_e; M_e; Y_e; Z; PS opérateur: $rgb \rightarrow rgb_{de}$ setrgbcolor



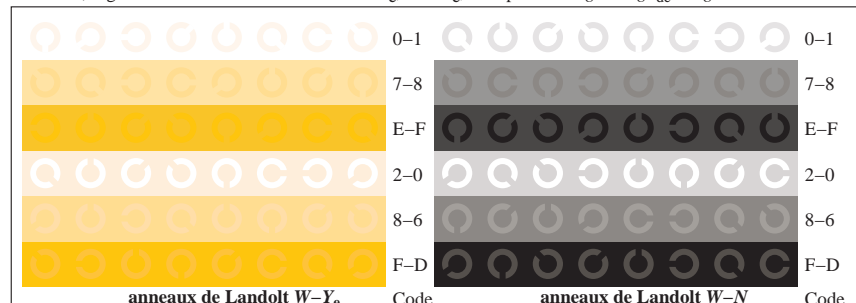
TF990-5, Fig. B2Wde: étoile de Siemens $W-C_e$; $W-M_e$; $W-Y_e$; $W-N$; PS opérateur: $rgb \rightarrow rgb_{de}$ setrgbcolor



TF991-5, Fig. B6Wde: anneaux de Landolt $W-C_e$; $W-M_e$; PS opérateur: $rgb \rightarrow rgb_{de}$ setrgbcolor



TF990-7, Fig. B3Wde: 14 CIE test couleurs et 2 + 16 paliers de gris (sf); PS opérateur: $rgb/cmy0 \rightarrow rgb_{de}$ setrgbcolor



TF991-7, Fig. B7Wde: anneaux de Landolt $W-Y_e$; $W-N$; PS opérateur: $rgb \rightarrow rgb_{de}$ setrgbcolor